

P 5014  
991/36(?)

ISSN 0033-8494

11

## АКАДЕМИЯ НАУК СССР

# РАДИОТЕХНИКА и ЭЛЕКТРОНИКА

Том 36

7

Показано, что спектр (1) наблюдается на фоне Чиркинского вентиляции при односторонней электрической полярности  $N_0$ . В работе [4, 2] изложены результаты приема сигналов (1) при установке на крепление линии при временных задержках  $\Delta\tau$ . Однако часто можно наблюдать пологое монотонное уменьшение  $\phi_0$  и вспышки спектра односторонности, сопровождающие Чиркин [4, 1]. В работе [1] параметры спектра односторонности изучены для случая наблюдения лишь радиотока на длине волны 10 см. Контрольные измерения учтены в монографии [1], но не изображены на рисунке [1].



«НАУКА»

«НАУКА»

1991

На вход ПМП поступает реализация  $\xi(t)$  стационарного гауссовского процесса  $\xi(t)$  с математическим ожиданием  $\langle \xi(t) \rangle = a_0$ . По определению, ПМП формирует логарифм функции правила правдоподобия (ФОРП) для всех  $t \in [\Lambda_1; \Lambda_2]$ . Будем считать, что

$$\mu = \ln P(\Lambda_1 < t < \Lambda_2)$$

В соответствии с [2], логарифм ФОРП имеет вид

### Статистическая радиофизика и радиотехника

УДК 621.391.01

© 1991 г.

А.П. Трифонов, А.В. Захаров, В.И. Парфенов

## ЭФФЕКТИВНОСТЬ ПРИЕМА СЛУЧАЙНОГО ИМПУЛЬСНОГО СИГНАЛА С НЕИЗВЕСТНЫМИ ПАРАМЕТРАМИ

Получены асимптотически точные выражения для характеристик алгоритма максимального правдоподобия обнаружения случайного импульсного сигнала и оценки его неизвестных параметров. Границы применимости найденных выражений установлены с помощью статистического моделирования на ЭВМ.

### ВВЕДЕНИЕ

Следуя [1, 2], под случайным импульсным сигналом будем понимать отрезок реализации шума достаточно большой длительности  $\tau$ :

$$(1) \quad s(t) = I((t - \lambda_0)/\tau) \xi(t),$$

где  $I(\cdot)$  – индикатор единичной длительности,  $\lambda_0$  – неизвестное временное положение сигнала, а  $\xi(t)$  – реализация стационарного гауссовского случайного процесса с математическим ожиданием  $\langle \xi(t) \rangle = a_0$  и спектром мощности  $G(\omega) = \gamma_0 I(\omega/\Omega)$ . Здесь  $\gamma_0$  – величина, а  $\Omega$  – ширина спектра мощности. Такая аппроксимация спектра мощности широко используется в практических приложениях статистической радиотехники [3–6].

Полагаем, что сигнал (1) наблюдается на фоне гауссовского белого шума  $n(t)$  с односторонней спектральной плотностью  $N_0$ . В работах [1, 2] исследована эффективность приема сигнала (1) при условии, что неизвестно лишь его временное положение  $\lambda_0$ . Однако часто неизвестны также математическое ожидание  $a_0$  и величина спектра мощности  $\gamma_0$  случайного процесса  $\xi(t)$ . В работе [7] параметры  $a_0$  и  $\gamma_0$  предполагали неизвестными, причем найдено лишь рассеяние надежной оценки временного положения сигнала без учета возможного влияния аномальных ошибок [8].

Рассмотрим здесь прием сигнала (1) с неизвестными параметрами  $a_0, \gamma_0, \lambda_0$ , полагая, что неизвестное временное положение импульсного сигнала принимает значения из априорного интервала  $[\Lambda_1; \Lambda_2]$ . Для обнаружения сигнала (1) и оценки его параметров  $a_0, \gamma_0, \lambda_0$  используем метод максимального правдоподобия. Устройство, реализующее этот метод, будем называть приемником максимального правдоподобия (ПМП) [1, 2, 5, 6, 8]. Структура ПМП описана в [2, 7]. Ниже найдены асимптотические выражения для характеристик обнаружения случайного импульсного сигнала и оценки его неизвестных параметров ПМП. Приведены также результаты статистического моделирования ПМП на ЭВМ.

## 1. ВЫХОДНОЙ СИГНАЛ ПРИЕМНИКА МАКСИМАЛЬНОГО ПРАВДОПОДОБИЯ

Пусть на вход ПМП поступает реализация  $x(t) = s(t) + n(t)$  или  $x(t) = n(t)$ , причем  $s(t)$  и  $n(t)$  статистически не зависимы. По определению [8] ПМП формирует логарифм функционала отношения правдоподобия (ФОП)  $M(\lambda, a, \gamma)$  для всех  $a, \gamma, \lambda \in [\Lambda_1; \Lambda_2]$ . Будем считать, что

$$(2) \quad \mu = \tau\Omega/4\pi \gg 1.$$

Тогда в соответствии с [2, 7] логарифм ФОП имеет вид

$$(3) \quad M(\lambda, a, \gamma) = \mu \{ 2\gamma L_1(\eta) + 2a\sqrt{\tau N_0/\mu} L_0(\eta) - a^2 \tau/\mu - \\ - (N_0 + 2\gamma) \ln(1 + 2\gamma/N_0) \} / (N_0 + 2\gamma),$$

где  $\eta = \lambda/\tau$  – нормированное временное положение,

$$(4) \quad L_0(\eta) = \int_{\tau(\eta - \frac{1}{2})}^{\tau(\eta + \frac{1}{2})} x(t) dt / \sqrt{\mu\tau N_0},$$

$$(5) \quad L_1(\eta) = \int_{\tau(\eta - \frac{1}{2})}^{\tau(\eta + \frac{1}{2})} y^2(t) dt / \mu N_0,$$

а  $y(t)$  – отклик фильтра с передаточной функцией  $h(\omega)$ , удовлетворяющей условию  $|h(\omega)|^2 = I(\omega/\Omega)$ , на реализацию  $x(t)$ . Как известно [9], ПМП принимает решение о наличии полезного сигнала на основе сравнения величины абсолютного (наибольшего) максимума логарифма ФОП (3) с порогом  $c$ , который выбираем в соответствии с заданным критерием оптимальности обнаружения. Следовательно, с порогом сравниваем величину

$$M = \sup_{a, \gamma, \lambda \in [\Lambda_1; \Lambda_2]} M(\lambda, a, \gamma) = \sup_{\eta \in [\tilde{\Lambda}_1; \tilde{\Lambda}_2]} L(\eta),$$

где  $L(\eta) = \sup_a M(\lambda, a, \gamma)$ ,  $\eta = \lambda/\tau$ ,  $\tilde{\Lambda}_i = \Lambda_i/\tau$ ,  $i = 1, 2$ .

Логарифм ФОП (3) достигает максимума при

$$(6) \quad a = \tilde{a}(\eta) = \sqrt{\mu N_0/\tau} L_0(\eta), \quad \gamma = \tilde{\gamma}(\eta) = N_0 [L_1(\eta) - L_0^2(\eta) - 1] / 2.$$

Подставляя (6) в (3), имеем

$$(7) \quad L(\eta) = \mu \{ L_1(\eta) - \ln[L_1(\eta) - L_0^2(\eta)] - 1 \}.$$

При наличии полезного сигнала (1) функционалы (4), (5) можно представить в виде суммы регулярных и шумовых составляющих [8]:  $L_i(\eta) = S_i(\eta) + N_i(\eta)$ ,  $i = 0, 1$ , где  $S_i(\eta) = \langle L_i(\eta) \rangle$  – регулярная,  $N_i(\eta) = L_i(\eta) - \langle L_i(\eta) \rangle$  – шумовая составляющая, а усреднение выполняется по реализациям  $x(t)$  при фиксированных  $a_0$ ,  $\gamma_0$ ,  $\eta_0 = \lambda_0/\tau$ . При выполнении (2) получаем

$$(8) \quad \begin{aligned} S_0(\eta) &= \delta \max(1 - |\eta - \eta_0|; 0) / \sqrt{2}; \quad B_0(\eta_1, \eta_2) = \langle N_0(\eta_1) N_0(\eta_2) \rangle = \\ &= \{ \max(1 - |\eta_1 - \eta_2|; 0) + q_0 I[(\eta_1 - \eta_2)/2] I[(\eta_1 - \eta_0)/2] I[(\eta_2 - \\ &- \eta_0)/2] [1 + \min(0; \eta_1 - \eta_0); \eta_2 - \eta_0] - \max(0; \eta_1 - \eta_0; \eta_2 - \eta_0) \} / 2\mu; \\ S_1(\eta) &= 1 + (q_0 + \delta^2/2) \max(1 - |\eta - \eta_0|; 0); \\ B_1(\eta_1, \eta_2) &= \langle N_1(\eta_1) N_1(\eta_2) \rangle = \{ \max(1 - |\eta_1 - \eta_2|; 0) + \\ &+ [q_0(2 + q_0) + \delta^2(1 + q_0)] I[(\eta_1 - \eta_2)/2] I[(\eta_1 - \eta_0)/2] I[(\eta_2 - \\ &- \eta_0)/2] [1 + \min(0; \eta_1 - \eta_0; \eta_2 - \eta_0) - \max(0; \eta_1 - \eta_0; \eta_2 - \eta_0)] \} / \mu. \end{aligned}$$

Здесь  $q_0 = 2\gamma_0/N_0$ ,  $\delta^2 = z_0^2/\mu$ ,  $z_0^2 = 2a_0^2\tau/N_0$ .

При отсутствии полезного сигнала (1) для функционалов (4), (5) имеем

$$(9) \quad \begin{aligned} \langle L_0(\eta) \rangle &= 0, \quad \langle L_0(\eta_1)L_0(\eta_2) \rangle = \max(1 - |\eta_1 - \eta_2|; 0)/2\mu; \\ \langle L_1(\eta) \rangle &= 1, \quad \langle [L_1(\eta_1) - \langle L_1(\eta_1) \rangle][L_1(\eta_2) - \langle L_1(\eta_2) \rangle] \rangle = \\ &= \max(1 - |\eta_1 - \eta_2|; 0)/\mu. \end{aligned}$$

## 2. ОБНАРУЖЕНИЕ СЛУЧАЙНОГО ИМПУЛЬСНОГО СИГНАЛА

Определим вероятности ошибок 1-го рода (ложной тревоги)  $\alpha$  и 2-го рода (пропуска сигнала)  $\beta$  [1, 9]. Предположим вначале, что полезный сигнал отсутствует. Тогда вероятность ложной тревоги можно записать в виде

$$(10) \quad \alpha = P[\sup_{\eta \in [\tilde{\Lambda}_1; \tilde{\Lambda}_2]} L(\eta) > c] = 1 - P_N(c),$$

где

$$(11) \quad P_N(c) = P[L(\eta) < c], \quad \eta \in [\tilde{\Lambda}_1; \tilde{\Lambda}_2].$$

Введем в рассмотрение величину

$$(12) \quad \epsilon = \mu^{-\frac{1}{2}},$$

которая при выполнении (2) является малым параметром. Учитывая (9), функционал (7) при отсутствии сигнала перепишем в виде

$$(13) \quad L(\eta) = \mu \{ \epsilon N_{10}(\eta) - \ln [1 - \epsilon N_{10}(\eta) - \epsilon^2 N_{00}(\eta)/2] \}.$$

Здесь нормированные функции  $N_{10}(\eta) = [L_1(\eta) - 1]\sqrt{\mu}$ ,  $N_{00}(\eta) = L_0(\eta)\sqrt{2\mu}$ , причем согласно (9)  $\langle N_{10}(\eta) \rangle = \langle N_{00}(\eta) \rangle = 0$ ,  $\langle N_{10}^2(\eta) \rangle = \langle N_{00}^2(\eta) \rangle = 1$ ,  $\langle N_{10}(\eta_1)N_{10}(\eta_2) \rangle = \langle N_{00}(\eta_1)N_{00}(\eta_2) \rangle = \max(1 - |\eta_1 - \eta_2|; 0)$ .

С учетом (2) разложим (13) в ряд Маклорена по  $\epsilon$  и ограничимся первым членом разложения, зависящим от  $x(t)$ . В результате при  $\epsilon \rightarrow 0$

$$(14) \quad L(\eta) = [N_{10}^2(\eta) + N_{00}^2(\eta)]/2 + o(\epsilon).$$

Опустим здесь члены разложения порядка  $\epsilon$  и меньше. Учтем, что функционал  $N_{00}(\eta)$  гауссовский, а  $N_{10}(\eta)$  асимптотически (при выполнении (2)) гауссовский, причем  $\langle N_{00}(\eta_1)N_{10}(\eta_2) \rangle \approx 0$ . Следовательно, при  $\mu \gg 1$  функционал (14) можно аппроксимировать выражением

$$(15) \quad L(\eta) \approx [X_1^2(\eta) + X_2^2(\eta)]/2 = \chi(\eta).$$

Здесь  $X_i(\eta)$ ,  $i = 1, 2$ , – реализации независимых стационарных центрированных гауссовых случайных процессов с одинаковыми корреляционными функциями  $\langle X_i(\eta_1)X_i(\eta_2) \rangle = \max(1 - |\eta_1 - \eta_2|; 0)$ . Нетрудно показать, что функционал  $\chi(\eta)$  является реализацией стационарного случайного процесса с плотностью вероятности  $W(\chi) = \exp(-\chi)$ ,  $\chi \geq 0$ , и коэффициентом корреляции  $R_\chi(\Delta)$ , который при  $\Delta \rightarrow 0$  допускает представление  $R_\chi(\Delta) = 1 - 2|\Delta| + o(|\Delta|)$ . Эти свойства функционала (15) на основе результатов [9] позволяют найти аппроксимацию функции  $P_N(c)$  (11):

$$(16) \quad P_N(c) \approx \begin{cases} \exp[-2mc \exp(-c)], & c \geq 1, \\ 0, & c < 1. \end{cases}$$

где  $m = \tilde{\Lambda}_2 - \tilde{\Lambda}_1 = (\Lambda_2 - \Lambda_1)/\tau$ . Согласно (10), (16) приближенное выражение для вероятности ложной тревоги принимает вид

$$(17) \quad \alpha \approx \begin{cases} 1 - \exp[-2mc \exp(-c)], & c \geq 1, \\ 1, & c < 1. \end{cases}$$

Точность формул (16) и (17) возрастает с увеличением  $m, c, \mu$  [9].

Полагаем теперь, что полезный сигнал (1) присутствует на входе ПМП. Тогда вероятность пропуска сигнала (1)

$$(18) \quad \beta \simeq P[\sup_{\eta \in [\tilde{\Lambda}_1; \tilde{\Lambda}_2]} L(\eta) < c] = P[\sup_{\eta \in [\tilde{\Lambda}_1; \tilde{\Lambda}_2]} (\eta) < c].$$

Разобьем весь интервал возможных значений  $\eta$  на две подобласти:  $\theta_S = (\eta^-; \eta^+)$ ,  $\theta_N = \{[\tilde{\Lambda}_1; \eta^-]; [\eta^+; \tilde{\Lambda}_2]\}$ , где  $\eta^+ = \min(\tilde{\Lambda}_2; \eta_0 + 1)$ ,  $\eta^- = \max(\tilde{\Lambda}_1; \eta_0 - 1)$ . Из формул (8) следует, что при  $\eta \in \theta_N$  вероятностные характеристики функционала (7) такие же, как и при отсутствии полезного сигнала на входе приемника. Обозначим  $H_N = \sup L(\eta)$ ,  $\eta \in \theta_N$  и  $H_S = \sup L(\eta)$ ,  $\eta \in \theta_S$ . При  $m \gg 1$  аналогично [1, 9] запишем (18) как

$$(19) \quad \begin{aligned} \beta &\simeq P_N^*(c) P_S(c), \quad P_N^*(c) = P[H_N < c], \\ P_S(c) &= P[H_S < c], \end{aligned}$$

причем

$$(20) \quad P_N^*(c) \simeq P_N(c),$$

где вероятность  $P_N(c)$  определена в (11), (16).

Найдем вероятность  $P_S(c)$ . Введем нормированные функции  $\hat{N}_i(\eta) = N_i(\eta)\sqrt{\mu}$ ,  $i = 0, 1$ , два первых момента которых при  $\eta \in \theta_S$

$$(21) \quad \langle \hat{N}_1(\eta) \rangle = \langle \hat{N}_0(\eta) \rangle = 0, \quad \langle \hat{N}_1^2(\eta) \rangle = 1 + [q_0(2 + q_0) +$$

$$+ \delta^2(1 + q_0)](1 - |\eta - \eta_0|), \quad \langle \hat{N}_0^2(\eta) \rangle = [1 + q_0(1 - |\eta - \eta_0|)]/2.$$

Тогда, используя (12), перепишем (7) в виде

$$(22) \quad L(\eta) = \mu\{S_1(\eta) - 1 + \epsilon\hat{N}_1(\eta) - \ln[S_1(\eta) + \epsilon\hat{N}_1(\eta) - \{S_0(\eta) + \epsilon\hat{N}_0(\eta)\}^2]\}.$$

Предположим, что величины  $q_0$  и  $\delta$  конечны, так что дисперсии (21) нормированных шумовых функций  $\hat{N}_1(\eta)$  и  $\hat{N}_0(\eta)$  ограничены при любых  $\mu$ . Кроме того, сигнальные функции  $S_1(\eta)$  и  $S_0(\eta)$  (8) не обращаются в нуль при  $\eta \in \theta_S$ . Разложим (22) в ряд Маклорена по  $\epsilon$  и аналогично (13)–(15) ограничимся первым членом разложения, зависящим от реализации наблюдаемых данных. Функционал (22) при  $\eta \in \theta_S$  перепишем как

$$(23) \quad L(\eta) \simeq S(\eta) + N(\eta),$$

где

$$(24) \quad S(\eta) = \mu\{S_1(\eta) - 1 - \ln[S_1(\eta) - S_0^2(\eta)]\}$$

— сигнальная функция, а

$$(25) \quad N(\eta) = \mu\{N_1(\eta)[S_1(\eta) - S_0^2(\eta) - 1] + 2S_0(\eta)N_0(\eta)][S_1(\eta) - S_0^2(\eta)]^{-1}\}$$

— шумовая [8]. Введем в рассмотрение выходное отношение сигнал/шум (ОСШ) для принятого сигнала:

$$(26) \quad \begin{aligned} z^2 &= S^2(\eta_0)/\langle N^2(\eta_0) \rangle = \\ &= \mu\{\delta^2 + 2[q_0 - \ln(1 + q_0)]\}^2 \{4[\delta^2(1 + q_0) + q_0^2]\}^{-1}. \end{aligned}$$

Из формулы (26) видно, что при  $q_0 > 0$  и  $\mu \rightarrow \infty$  ОСШ  $z \rightarrow \infty$  при любых конечных значениях  $\delta$ . Обозначим через

$$(27) \quad \eta_m = \arg \sup_{\eta} L(\eta), \quad \eta \in \theta_S.$$

надежную оценку максимального правдоподобия (ОМП) параметра  $\eta_0$  [8]. Тогда  $H_S = L(\eta_m)$ ,  $P_S(c) = P[L(\eta_m) < c]$ . При  $z \rightarrow \infty$  ОМП  $\eta_m$  сходится к  $\eta_0$  в среднеквадратическом смысле [7]. Поэтому, когда  $z \gg 1$ , для расчета вероятности  $P_S(c)$  достаточно исследовать поведение (23) в малой окрестности  $\eta_0$  [9]. Введем  $\Delta = \max\{|\eta_1 - \eta_0|, |\eta_2 - \eta_0|, |\eta_1 - \eta_2|\}$ . Тогда для (24), (25) при  $\Delta \rightarrow 0$  справед-

ливы асимптотические разложения

$$(28) \quad \begin{aligned} S(\eta) &= \mu[q_0 - \ln(1 + q_0)] + z_0^2/2 - A_S |\eta - \eta_0| + o(\Delta), \\ \langle N(\eta_1)N(\eta_2) \rangle &= \sigma_1^2 + (4S - \sigma_0^2) |\eta_1 - \eta_2| - \\ &- (2A_S + \sigma_1^2 - \sigma_0^2) [\max(0; \eta_1 - \eta_0; \eta_2 - \eta_0) - \\ &- \min(0; \eta_1 - \eta_0; \eta_2 - \eta_0)] + o(\Delta). \end{aligned}$$

Здесь  $A_S = [\mu q_0^2 + z_0^2(2 + q_0)/2]/(1 + q_0)$ ,  $\sigma_0^2 = (\mu q_0^2 + z_0^2)/(1 + q_0)^2$ ,  $\sigma_1^2 = \mu q_0^2 + z_0^2(1 + q_0)$ . Обозначим

$$(29) \quad P_r(c) = P[L(\eta) < c], \quad |\eta - \eta_0| < m_r,$$

где значение  $m_r$  фиксировано и выбрано настолько малым, что при  $\Delta < m_r$ , (28) можно аппроксимировать главными членами асимптотических разложений с требуемой точностью. Тогда при  $z \gg 1$  в силу сходимости  $\eta_m$  к  $\eta_0$  в среднеквадратическом [7]  $P_S(c)$  можно аппроксимировать вероятностью (29)

$$(30) \quad P_S(c) \approx P_r(c).$$

Перепишем (29) как  $P_r(c) = P[R(\eta) < c - L_0], |\eta - \eta_0| < m_r$ , где  $R(\eta) = L(\eta) - L_0$ ,  $L_0 = L(\eta_0)$ . Используя главные члены асимптотических разложений (28), находим при  $\Delta < m_r$  два первых момента

$$\begin{aligned} \langle R(\eta) \rangle &= -A_S |\eta - \eta_0|, \quad \langle [R(\eta_1) - \langle R(\eta_1) \rangle][R(\eta_2) - \langle R(\eta_2) \rangle] \rangle = \\ &= (\sigma_1^2 + \sigma_0^2) \begin{cases} \min(|\eta_1 - \eta_0|, |\eta_2 - \eta_0|), & (\eta_1 - \eta_0)(\eta_2 - \eta_0) \geq 0, \\ 0, & (\eta_1 - \eta_0)(\eta_2 - \eta_0) < 0. \end{cases} \end{aligned}$$

Кроме того, при выполнении (2) случайный процесс  $R(\eta)$  можно считать приближенно гауссовским. Рассчитывая далее вероятность  $P_r(c)$  аналогично [1, 9], получаем

$$(31) \quad \begin{aligned} P_r(c) &= \Phi(u - z) - 2 \exp[\psi^2 z^2/2 + \psi z(z - u)] \Phi[u - z(\psi + 1)] + \\ &+ \exp[2\psi^2 z^2 + 2\psi z(z - u)] \Phi[u - z(2\psi + 1)], \end{aligned}$$

$$u = c/\sigma_1,$$

где  $\psi = 2\sigma_1^2 A_S / [S(\eta_0)(\sigma_1^2 + \sigma_0^2)]$ , а  $\Phi(x)$  – интеграл вероятности [9]. Таким образом, согласно (19), (20), (16), (30), (31) приближенное выражение для вероятности пропуска сигнала принимает вид

$$(32) \quad \beta \approx \exp[-2mc \exp(-c)] \Phi(u - z) - 2 \exp[\psi^2 z^2/2 + \psi z(z - u)] \Phi[u - z(\psi + 1)] + \exp[2\psi^2 z^2 + 2\psi z(z - u)] \Phi[u - z(2\psi + 1)]$$

при  $c \geq 1$  и  $\beta \approx 0$  при  $c < 1$ . Точность этой формулы возрастает с увеличением  $c$ ,  $m$ ,  $\mu$ ,  $z$ .

### 3. ОЦЕНКА ПАРАМЕТРОВ СЛУЧАЙНОГО ИМПУЛЬСНОГО СИГНАЛА

Рассмотрим характеристики ОМП параметров  $\lambda_0$ ,  $a_0$ ,  $\gamma_0$  случайного импульсного сигнала (1). При этом будем полагать, что сигнал (1) присутствует с вероятностью 1. Согласно [8], оценка  $\hat{\eta}$  параметра  $\eta_0 = \lambda_0/\tau$  определяется как

$$(33) \quad \hat{\eta} = \arg \sup_{\eta} L(\eta), \quad \eta \in [\tilde{\Lambda}_1; \tilde{\Lambda}_2],$$

а оценки  $\hat{a}$  и  $\hat{\gamma}$  параметров  $a_0$  и  $\gamma_0$  – как

$$(34) \quad \hat{a} = \tilde{a}(\hat{\eta}), \quad \hat{\gamma} = \tilde{\gamma}(\hat{\eta}).$$

Рассмотрим вначале характеристики ОМП  $\hat{\eta}$  (33). Согласно [8], при  $m \gg 1$  условное смещение  $d_{\eta} = \langle \hat{\eta} - \eta_0 \rangle$  и условное рассеяние  $V_{\eta} = \langle (\hat{\eta} - \eta_0)^2 \rangle$  оценки  $\hat{\eta}$

имеют вид

$$(35) \quad \begin{aligned} d_{\eta} &= P_0 d_0 + (1 - P_0) [(\tilde{\Lambda}_1 + \tilde{\Lambda}_2)/2 - \eta_0], \\ V_{\eta} &= P_0 V_0 + (1 - P_0) [\tilde{\Lambda}_1^2 + \tilde{\Lambda}_1 \tilde{\Lambda}_2 + \tilde{\Lambda}_2^2]/3 - \eta_0 (\tilde{\Lambda}_1 + \tilde{\Lambda}_2) + \eta_0^2. \end{aligned}$$

Здесь  $d_0 = \langle \eta_m - \eta_0 \rangle$  – условное смещение,  $V_0 = \langle (\eta_m - \eta_0)^2 \rangle$  – условное рас- сеяние надежной оценки  $\eta_m$  (27), а  $P_0$  – вероятность надежной оценки [8]. Полагаем, что кроме (2) выполняется условие  $z \geq 1$ . Тогда аналогично [1] можно показать, что  $d_0 \approx 0$  и согласно [7]

$$(36) \quad V_0 = \frac{13}{8} \frac{\{\mu q_0^2 [1 + (1 + q_0)^2] + z_0^2 [1 + (1 + q_0)^3]\}^2}{\{\mu q_0^2 + z_0^2 (1 + q_0)/2\}^4}.$$

Отметим, что при выводе (36) в [7] считали  $V_0 \gg \mu^{-2}$ . Аналогично [1, 8] при  $m \geq 1$  можем записать  $P_0 \approx \int_{-\infty}^{\infty} P_N^*(x) dP_S(x)$ . Воспользуемся аппроксимациями (20), (30) функций  $P_N^*(x)$  и  $P_S(x)$ . Тогда согласно (16), (31) имеем

$$(37) \quad \begin{aligned} P_0 \approx & \frac{2\psi z}{\sigma_1} \exp[\psi^2 z^2/2 + \psi z^2] \int_1^{\infty} \exp[-2mx \exp(-x)] \times \\ & \times \{\exp(-\psi zx/\sigma_1) \Phi[x/\sigma_1 - z(\psi + 1)] - \exp[3\psi^2 z^2/2 + \psi z(z - 2x/\sigma_1)] \times \\ & \times \Phi[x/\sigma_1 - z(2\psi + 1)]\} dx. \end{aligned}$$

Точность этой формулы возрастает с увеличением  $m, \mu, z$ .

Рассмотрим характеристики ОМП  $\hat{a}$  и  $\hat{\gamma}$  (34). Предположим вначале, что величина параметра  $\eta_0$  априори известна. Тогда в (34) следует подставить  $\hat{\eta} \equiv \eta_0$ . При  $\hat{\eta} \equiv \eta_0$  и выполнении (2) характеристики оценок (34) определяются выражениями

$$(38) \quad \begin{aligned} d_{a0} &= \langle \hat{a} - a_0 \rangle = 0, \quad V_{a0} = \langle (\hat{a} - a_0)^2 \rangle = N_0(1 + q_0)/2\tau, \\ d_{\gamma0} &= \langle \hat{\gamma} - \gamma_0 \rangle = -N_0(1 + q_0)/4\mu, \quad V_{\gamma0} = \langle (\hat{\gamma} - \gamma_0)^2 \rangle = N_0^2(1 + q_0)^2/4\mu. \end{aligned}$$

Полагаем теперь, что величина параметра  $\eta_0$  не известна. Из формул (38) следует, что при  $\hat{\eta} \equiv \eta_0$  и выполнении (2) рассеяния оценок (34) имеют порядок малости  $\mu^{-1}$ . С другой стороны, согласно (36), рассеяние надежной оценки  $\eta_m$  имеет порядок малости  $\mu^{-2}$ . Поэтому аналогично [10] можно показать, что при  $\mu \geq 1, z \geq 1$ , когда  $P_0 \approx 1$ , т.е. когда оценка  $\hat{\eta}$  (33) является надежной, характеристики оценок  $\hat{a} = \tilde{a}(\hat{\eta})$  и  $\hat{\gamma} = \tilde{\gamma}(\hat{\eta})$  совпадают с характеристиками (38), найденными при известной величине параметра  $\eta_0(\lambda_0)$ .

#### 4. РЕЗУЛЬТАТЫ СТАТИСТИЧЕСКОГО МОДЕЛИРОВАНИЯ

С целью установления границ применимости найденных асимптотически точных формул для характеристик обнаружения и оценки выполнено статистическое моделирование ПМП на ЭВМ. В процессе моделирования на интервале  $[\tilde{\Lambda}_1; \tilde{\Lambda}_2]$  с шагом  $\Delta\eta = 0,01$  формировали отсчеты реализаций случайного процесса (7) как при наличии, так и при отсутствии сигнала (1), а также отсчеты реализаций случайных процессов (6) при наличии сигнала (1). Для каждой реализации  $x(t)$  сравнивали величину наибольшего отсчета (7) с порогом  $c$  и находили вероятности ложной тревоги и пропуска сигнала. Кроме того, согласно (33), (34) определяли оценки  $\hat{\eta}, \hat{a}, \hat{\gamma}$  и находили рассеяния оценок.

Некоторые результаты статистического моделирования представлены на рис. 1–5, где показаны также соответствующие теоретические зависимости. Каждое экспериментальное значение получено в результате обработки не менее  $10^3$

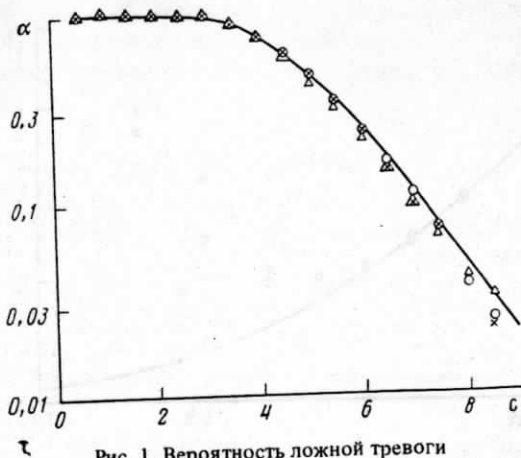


Рис. 1. Вероятность ложной тревоги

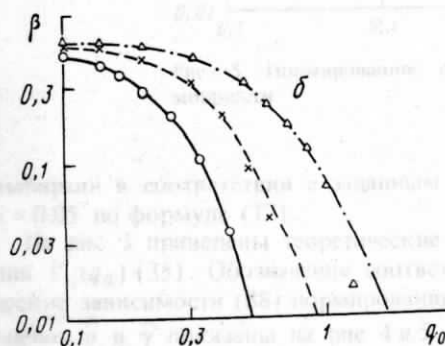
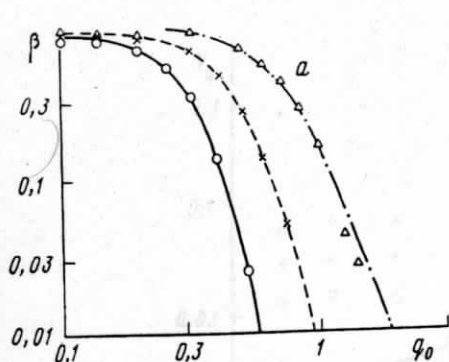


Рис. 2. Вероятность пропуска сигнала:  $a: z_0^2 = 0$ ,  $b: z_0^2 = 10$

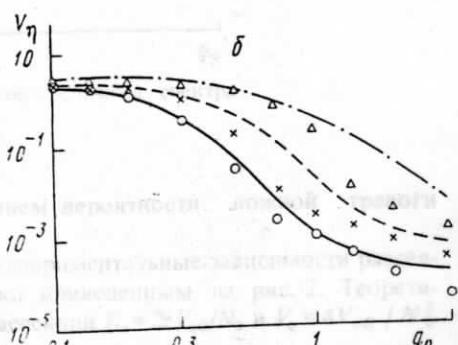
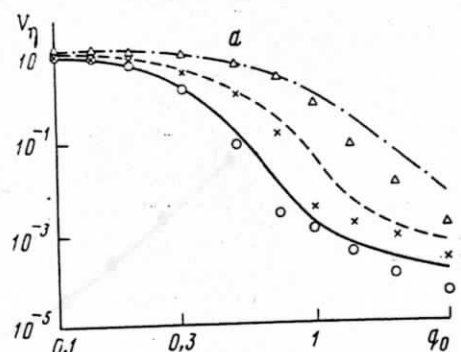


Рис. 3. Нормированное рассеяние оценки временного положения;  $a: z_0^2 = 0$ ,  $b: z_0^2 = 10$

реализаций  $x(t)$  при  $m = 10$ ,  $\tilde{\Lambda}_1 = 0$ ,  $\tilde{\Lambda}_2 = m$ ,  $\eta_0 = (\tilde{\Lambda}_1 + \tilde{\Lambda}_2)/2$ . На рис. 1 приведена теоретическая зависимость вероятности ложной тревоги  $\alpha(c)$  (17), на рис. 2 — теоретическая зависимость вероятности пропуска сигнала  $\beta(q_0)$  (32) для  $\mu = 200$  (сплошные линии), 100 (штриховые), 40 (штрихпунктирные). Экспериментальные значения характеристик обнаружения обозначены на рис. 1 и 2 треугольниками, крестиками, кружочками для  $\mu = 40$ : -100 и 200. Величину порога  $c$

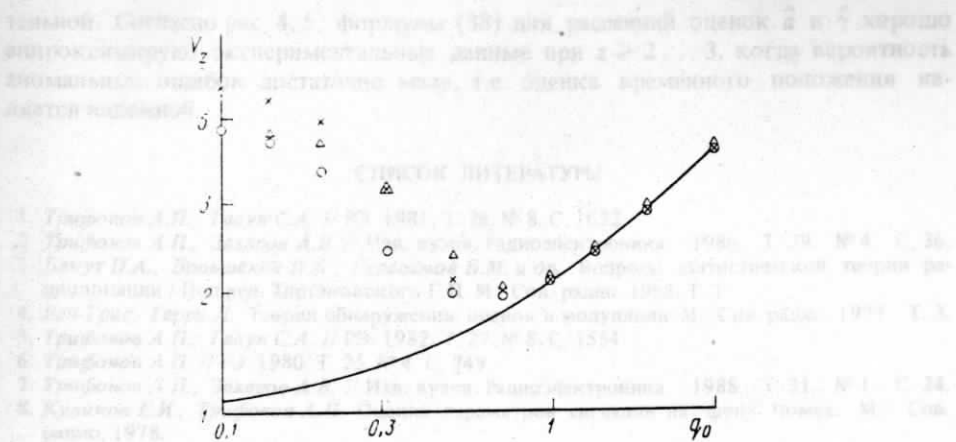


Рис. 4. Нормированное рассеяние оценки математического ожидания

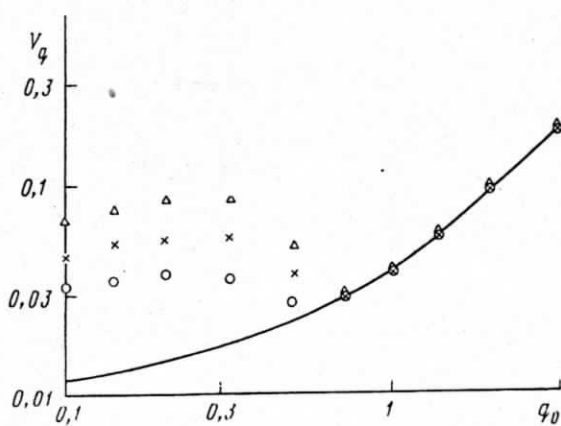


Рис. 5. Нормированное рассеяние величины спектра мощности

выбирали в соответствии с заданным уровнем вероятности ложной тревоги  $\alpha = 0.05$  по формуле (17).

На рис. 3 приведены теоретические и экспериментальные зависимости рассеяния  $V_\eta(q_0)$  (35). Обозначения соответствуют приведенным на рис. 2. Теоретические зависимости (38) нормированных рассеяний  $V_z = 2V_{z0}/N_0$  и  $V_q = 4V_{q0}/N_0^2$  оценок  $\hat{a}$  и  $\hat{\gamma}$  показаны на рис. 4 и 5 для  $\mu = 100$ . Соответствующие экспериментальные значения рассеяний  $V_z$  и  $V_q$  обозначены треугольниками, крестиками и кружочками для  $z_0^2 = 0; 5; 10$ .

Как следует из рис. 1–3, теоретические зависимости для вероятностей  $\alpha$  (17) и  $\beta$  (32) удовлетворительно аппроксимируют экспериментальные данные уже  $\mu = 40$ , а теоретические зависимости для рассеяния  $V_\eta$  (35) оценки  $\hat{\eta}$  – при  $\mu = 100 \dots 200$ , что соответствует значениям  $z \geq 0.3 \dots 1$ . При  $q_0 > 2 \dots 3$  теоретические зависимости  $V_\eta(q_0)$  (35) отклоняются от экспериментальных значений, поскольку формула (36) для рассеяния  $V_0$  надежной оценки временного положения получена в [7] в пренебрежении ошибками оценивания порядка времени корреляции случайного импульса (1). Следовательно, когда рассеяние убывает до величины порядка  $\mu^{-2}$ , погрешность формул (35), (36) становится значи-

тельной. Согласно рис. 4, 5, формулы (38) для рассеяний оценок  $\hat{a}$  и  $\hat{\gamma}$  хорошо аппроксимируют экспериментальные данные при  $z \geq 2 \dots 3$ , когда вероятность аномальных ошибок достаточно мала, т.е. оценка временного положения является надежной.

#### СПИСОК ЛИТЕРАТУРЫ

1. Трифонов А.П., Галун С.А. // РЭ. 1981. Т. 26. № 8. С. 1622.
2. Трифонов А.П., Захаров А.В. // Изв. вузов. Радиоэлектроника. 1986. Т. 29. № 4. С. 36.
3. Бакут П.А., Большаков И.А., Герасимов Б.М. и др. Вопросы статистической теории радиолокации / Под ред. Тартаковского Г.П. М.: Сов. радио, 1963. Т. 1.
4. Van-Trees, Garri L. Теория обнаружения, оценок и модуляции. М.: Сов. радио, 1977. Т. 3.
5. Трифонов А.П., Галун С.А. // РЭ. 1982. Т. 27. № 8. С. 1554.
6. Трифонов А.П. // РЭ. 1980. Т. 25. № 4. С. 749.
7. Трифонов А.П., Захаров А.В. // Изв. вузов. Радиоэлектроника. 1988. Т. 31. № 1. С. 24.
8. Куликов Е.И., Трифонов А.П. Оценка параметров сигналов на фоне помех. М.: Сов. радио, 1978.
9. Трифонов А.П. // Теория обнаружения сигналов. М.: Радио и связь, 1984. С. 12–89.
10. Боссвиль М., Вилски А., Банвенист А. и др. Обнаружение изменений свойств сигналов и динамических систем / Под ред. Боссвиль М., Банвениста А. М.: Мир, 1989.

Поступила в редакцию

3.01.91